

Mawsons Tochterunternehmen SXG erbohrt höchste Gehalte bei Apollo 3 neue Adersätze erweitern die Mineralisierung bei Sunday Creek um weitere 150 m nach Osten

Die Mineralisierung erstreckte sich auch weitere 150 m tiefer bei Apollo

Vancouver, Kanada - **Mawson Gold Limited** ("Mawson" oder das "Unternehmen") (TSXV:MAW) (Frankfurt:MXR) (PINKSHEETS: MWSNF) - <https://www.commodity-tv.com/ondemand/companies/profil/mawson-gold-ltd/> - gibt bekannt, dass Southern Cross Gold Ltd. ("Southern Cross Gold" oder "SXG") hat ein Bohrloch SDDSC108A aus dem Gebiet Apollo auf dem zu 100 % unternehmenseigenen Projekt Sunday Creek in Victoria, Australien, veröffentlicht (Abbildungen 1 - 5).

Höhepunkte:

- **SDDSC108A** erbohrt **acht hochgradige Adersätze bei Apollo Deep** über einen Bohrlochabschnitt von 445 m und lieferte auf mehreren Ebenen (Abbildung 4):
 - **Die höchsten** bisher bei Apollo gefundenen **Goldgehalte**, einschließlich **0,2 m mit 576 g/t Au**;
 - **Drei neue Adersätze, die die Mineralisierung 150 m nach Osten erweitern; und**
 - **Erweiterungen der bekannten Mineralisierung 150 m unterhalb der vorherigen Bohrungen** von SDDSC066.
- **SDDSC108A** beherbergt **sieben Abschnitte > 15 g/t Au (bis zu 576 g/t Au)** und **sechs Abschnitte mit > 5 % Sb (bis zu 15,1 % Sb)**. Zu den ausgewählten Highlights gehören:

Drei neue Adersätze, die die Mineralisierung um 150 m nach Osten erweitern, einschließlich:

- **11,0 m @ 5,0 g/t AuEq** (1,9 g/t Au, 2,0 % Sb) aus 354,1 m, einschließlich:
 - **0,8 m @ 21,0 g/t AuEq** (12,0 g/t Au, 5,7 % Sb) aus 357,6 m
 - **1,0 m @ 15,0 g/t AuEq** (1,0 g/t Au, 8,9 % Sb) aus 359,5 m
 - **1,4 m @ 8,8 g/t AuEq** (3,3 g/t Au, 3,5 % Sb) aus 363,0 m

Neigungsabhängige Erweiterung der Mineralisierung 150 m unterhalb von Apollo, einschließlich:

- **7,8 m @ 2,6 g/t AuEq** (1,0 g/t Au, 1,0 % Sb) aus 636,2 m, einschließlich:
 - **1,1 m @ 5,9 g/t AuEq** (1,7 g/t Au, 2,6 % Sb) aus 636,9 m
 - **9,8 m @ 3,9 g/t AuEq** (1,8 g/t Au, 1,3 % Sb) aus 655,6 m, einschließlich:
 - **1,2 m @ 19,4 g/t AuEq** (8,6 g/t Au, 6,8 % Sb) aus 657,8 m
 - **0,2 m @ 576,1 g/t AuEq** (576,0 g/t Au, 0,1 % Sb) aus 762,9 m
 - **1,1 m @ 17,1 g/t AuEq** (16,9 g/t Au, 0,1 % Sb) aus 797,9 m
- Acht Bohrlöcher bei Sunday Creek werden derzeit bearbeitet und analysiert, wobei drei Bohrlöcher noch im Gange sind (Abbildungen 1 und 2).
 - Mawson besitzt 93.750.000 Aktien von SXG (51 %), was einem Wert von 120,0 Mio. A\$ (108,9 Mio. C\$)

entspricht, basierend auf dem Schlusskurs von SXG am 26. Februar 2024 AEST.

Michael Hudson, Interim-CEO und Executive Chairman von Mawson, erklärt: *"Das Bohrloch SDDSC108A ist auf mehreren Ebenen erfolgreich und erhöht sowohl das Volumen als auch den Gehalt bei Sunday Creek in mehreren Dimensionen. Das Bohrloch zeigt, dass sich das System bei Sunday Creek in Richtung Osten und in die Tiefe fortsetzt und dass es vorhersehbar und zielführend ist.*

"Erstens wurden im oberen Teil des Bohrlochs drei neue Adern entdeckt, die die Mineralisierung um weitere 150 m nach Osten in Richtung des neun Kilometer langen regionalen Streichs erweitern, der für weitere Entdeckungen offen bleibt. Diese kommen zu den 42 Adersätzen hinzu, die bereits bei Sunday Creek definiert wurden, so dass sich die Gesamtzahl der Adersätze derzeit auf 45 beläuft.

"Zweitens erweitert SDDSC108A die Mineralisierung 150 m tiefer als frühere Bohrungen bei Apollo Deep, was die Kontinuität und Beständigkeit der Mineralisierung in den Step-Out-Bereichen beweist.

"Und drittens wurden in dem Bohrloch die bisher höchsten Goldgehalte bei Apollo gefunden, einschließlich 0,2 m mit 576 g/t Au. Es bestätigt weiterhin die Möglichkeit, bei Apollo Deep in der Tiefe noch höhere Gehalte zu finden, wie wir sie bei Rising Sun 400 m weiter westlich gefunden haben. Man geht davon aus, dass sich dieser hochgradige Abschnitt 150 m neigungsabwärts von der zuvor bei Apollo in SDDSC066 gebohrten höchstgradigen Ader befindet (1,0 m @ 224 g/t AuEq) (Abbildung 4). Dies zeigt die spannende Möglichkeit, zusammenhängende und extrem hochgradige Körper bei Sunday Creek mit engeren Bohrabständen weiter zu definieren.

"Außerdem freuen wir uns weiterhin über die hohen Antimongehalte, die wir gefunden haben. Antimon ist ein wichtiges potenzielles Nebenprodukt mit einem eigenen wirtschaftlichen und strategischen Wert.

"Da vier Bohrgeräte in Betrieb sind und die Ergebnisse von 11 Bohrlöchern noch ausstehen, gibt es immer wieder neue Nachrichten von Sunday Creek, das weiterhin einige der aufregendsten Goldexplorationsergebnisse der Welt liefert."

Diskussion über Bohrlöcher

SDDSC108A wurde von Osten nach Westen gebohrt, 150 m neigungsabwärts von SDDSC066 (veröffentlicht am 1. Juni 2023), und testete mehrere Adersätze. SDDSC108A enthält den hochgradigsten Abschnitt, der bisher bei Apollo gebohrt wurde (**0,2 m mit 576,0 g/t Au**). Man geht davon aus, dass sich dieser hochgradige Abschnitt 150 m neigungsabwärts von der höchstgradigen Adergruppe befindet, die in SDDSC066 gebohrt wurde (**1,0 m @ 224,3 g/t AuEq**) (Abbildung 3). Dies ist ein weiterer Beweis für die wohlbekannte geologische Möglichkeit, extrem hochgradige "Cinderella-Zonen" zu finden, die sich in der Tiefe in den epizonalen Systemen von Victorian bilden, und zeigt die Möglichkeit, extrem hochgradige Körper bei Sunday Creek zu definieren.

Das Bohrloch SDDSC108A durchteufte acht mineralisierte Adersätze und enthielt **sieben Abschnitte mit > 15 g/t Au (bis zu 576 g/t Au)** und **sechs Abschnitte mit > 5 % Sb (bis zu 15,1 % Sb)**.

Die drei neu entdeckten Adersätze erweitern die Mineralisierung um 150 m nach Osten. Es wird angenommen, dass diese neuen Adersätze mit der zuvor identifizierten Mineralisierung korrelieren (Abbildung 3):

- Oberflächenschürfungen 260 m neigungsaufwärts, einschließlich Graben 1: 14,0 m @ 12,0 g/t AuEq (11,5 g/t Au und 0,3 % Sb) einschließlich 8,0 m @ 20,2 g/t AuEq (19,6 g/t Au und 0,4 % Sb) und Graben 2: 2 m @ 5,2 g/t AuEq (4,9 g/t Au und 0,2 % Sb); und

- Eine sehr flache Bohrung, SDDSC063, durchteufte 1,5 m mit 6,6 g/t AuEq (5,0 g/t Au, 1,0 % Sb) aus 25,2 m Tiefe.

Zu den Highlights der drei neuen Aderentdeckungen in **SDDSC108A** gehören:

- **11,0 m @ 5,0 g/t AuEq** (1,9 g/t Au, 2,0 % Sb) aus 354,1 m, einschließlich:
 - **0,8 m @ 21,0 g/t AuEq** (12,0 g/t Au, 5,7% Sb) aus 357,6 m
 - **1,0 m @ 15,0 g/t AuEq** (1,0 g/t Au, 8,9 % Sb) aus 359,5 m
 - **1,4 m @ 8,8 g/t AuEq** (3,3 g/t Au, 3,5% Sb) aus 363,0 m
- **2,4 m @ 6,1 g/t AuEq** (5,6 g/t Au, 0,3 % Sb) aus 382,8 m, einschließlich:
 - **0,4 m @ 13,0 g/t AuEq** (12,6 g/t Au, 0,2 % Sb) aus 383,2 m
 - **0,6 m @ 10,7 g/t AuEq** (10,2 g/t Au, 0,3 % Sb) aus 384,6 m
- **0,3 m @ 23,7 g/t AuEq** (19,6 g/t Au, 2,6 % Sb) aus 419,0 m
- **0,3 m @ 48,8 g/t AuEq** (48,8 g/t Au, 0,0% Sb) aus 438,4 m
- **9,8 m @ 1,8 g/t AuEq** (1,6 g/t Au, 0,1% Sb) aus 440,7 m

Zu den Höhepunkten der Tiefenerweiterung von Apollo Deep in **SDDSC108A** gehören:

- **7,8 m @ 2,6 g/t AuEq** (1,0 g/t Au, 1,0 % Sb) aus 636,2 m, einschließlich:
 - **1,1 m @ 5,9 g/t AuEq** (1,7 g/t Au, 2,6 % Sb) aus 636,9 m
- **9,8 m @ 3,9 g/t AuEq** (1,8 g/t Au, 1,3 % Sb) aus 655,6 m, einschließlich:
 - **1,2 m @ 19,4 g/t AuEq** (8,6 g/t Au, 6,8 % Sb) aus 657,8 m
- **5,5 m @ 1,2 g/t AuEq** (0,7 g/t Au, 0,3% Sb) aus 694,9 m
- **5,2 m @ 3,2 g/t AuEq** (2,3 g/t Au, 0,6 % Sb) aus 707,6 m, einschließlich:
 - **0,2 m @ 44,8 g/t AuEq** (33,9 g/t Au, 6,9 % Sb) aus 707,8 m
- **0,2 m @ 576,1 g/t AuEq** (576,0 g/t Au, 0,1% Sb) aus 762,9 m
- **1,1 m @ 17,1 g/t AuEq** (16,9 g/t Au, 0,1% Sb) aus 797,9 m

Ausstehende Ergebnisse und Aktualisierung

Acht Bohrlöcher (SDDSC107, 110-112, 112W1, 113, 114, 115A) werden derzeit bearbeitet und analysiert, drei Bohrlöcher (SDDSC116, 117, 118) sind in Arbeit (Abbildungen 1 und 2).

Weitere Informationen

Weitere Informationen und Analysen zum Projekt Sunday Creek von Southern Cross Gold finden Sie auf der Website von SXG unter www.southerncrossgold.com.au.

Bei der Mittelwertbildung wird kein oberer Goldgrenzwert angewandt und die Abschnitte werden als Bohrmächtigkeit angegeben. Während zukünftiger Mineralressourcenstudien wird das Erfordernis eines oberen Abschneidens der Proben bewertet werden.

Die Abbildungen 1 bis 4 zeigen die Lage des Projekts sowie Grundriss-, Längs- und Querschnittsansichten der hier gemeldeten Bohrergergebnisse; die Tabellen 1 bis 3 enthalten die Daten der Bohrlochkragen und -proben. Die tatsächliche Mächtigkeit der gemeldeten mineralisierten Abschnitte wird auf etwa 60 % bis 70 % der Mächtigkeit der Proben anderer gemeldeter Bohrlöcher geschätzt. Niedrigere Gehalte wurden mit einem unteren Cutoff-Gehalt von 1,0 g/t Au über eine maximale Breite von 2 m geschnitten, höhere Gehalte mit einem unteren Cutoff-Gehalt von 5,0 g/t Au über eine maximale Breite von 1 m.

Technischer Hintergrund und qualifizierte Person

Die qualifizierte Person, Michael Hudson, Executive Chairman und Director von Mawson Gold sowie Fellow des Australasian Institute of Mining and Metallurgy, hat den technischen Inhalt dieser Pressemitteilung geprüft, verifiziert und genehmigt.

Die Analyseproben werden zur Einrichtung von On Site Laboratory Services ("On Site") in Bendigo transportiert, die sowohl nach ISO 9001 als auch nach dem NATA-Qualitätssystem arbeitet. Die Proben wurden aufbereitet und mit Hilfe der Brandprobe (PE01S-Methode; 25-Gramm-Charge) auf Gold analysiert,

gefolgt von der Messung des Goldes in Lösung mit einem Flammen-AAS-Gerät. Die Proben für die Multielementanalyse (BM011- und Over-Range-Methoden nach Bedarf) werden mit Königswasser aufgeschlossen und mit ICP-MS analysiert. Das QA/QC-Programm von Southern Cross Gold besteht aus dem systematischen Einsetzen von zertifizierten Standards mit bekanntem Goldgehalt, Leerproben innerhalb des interpretierten mineralisierten Gesteins und Viertelkernduplikaten. Darüber hinaus werden vor Ort Leerproben und Standards in den Analyseprozess eingefügt.

MAW ist der Ansicht, dass sowohl Gold als auch Antimon, die in der Goldäquivalentberechnung ("AuEq") enthalten sind, angesichts des aktuellen geochemischen Verständnisses, der historischen Produktionsstatistiken und der geologisch vergleichbaren Bergbaubetriebe ein angemessenes Potenzial für die Gewinnung von Sunday Creek haben. In der Vergangenheit wurde das Erz von Sunday Creek während des Ersten Weltkriegs vor Ort aufbereitet oder zur Costerfield-Mine, die 54 km nordwestlich des Projekts liegt, zur Aufbereitung transportiert. Der Costerfield-Minenkorridor, der sich nun im Besitz von Mandalay Resources Ltd. befindet, enthält zwei Millionen Unzen Goldäquivalent (Mandalay Q3 2021 Results) und war im Jahr 2020 die sechsthöchste Untertagemine der Welt und ein Top-5-Produzent von Antimon weltweit.

SXG ist der Ansicht, dass es angemessen ist, dieselben Goldäquivalenzvariablen wie Mandalay Resources Ltd. in seinem technischen Bericht Mandalay 2022 vom 25. März 2022 zu verwenden. Die von Mandalay Resources verwendete Goldäquivalenzformel wurde anhand der in der Aufbereitungsanlage auf dem Grundstück Costerfield in Brunswick im Jahr 2020 erzielten Ausbeuten berechnet, wobei ein Goldpreis von 1.700 US\$ pro Unze, ein Antimonpreis von 8.500 US\$ pro Tonne und Metallausbeuten für das gesamte Jahr 2021 von 93 % für Gold und 95 % für Antimon zugrunde gelegt wurden, und lautet wie folgt:

$$AuEq = Au (g/t) + 1,58 \times Sb (\%)$$

Basierend auf der jüngsten Costerfield-Berechnung und angesichts der ähnlichen geologischen Stile und der historischen Behandlung der Sunday Creek-Mineralisierung bei Costerfield ist SXG der Ansicht, dass ein **AuEq = Au (g/t) + 1,58 × Sb (%)** für die anfänglichen Explorationsziele der Gold-Antimon-Mineralisierung bei Sunday Creek angemessen ist.

Über Mawson Gold Limited (TSXV:MAW, FRANKFURT:MXR, OTCPINK:MWSNF)

[Mawson Gold Limited](#) hat sich als ein führendes nordisches Explorationsunternehmen profiliert. In den letzten Jahrzehnten hat das Team hinter Mawson eine lange und erfolgreiche Bilanz bei der Entdeckung, Finanzierung und Weiterentwicklung von Mineralienprojekten in den nordischen Ländern und Australien vorzuweisen. Mawson besitzt die Goldentdeckung Skellefteå North und ein Portfolio an historischen Uranressourcen in Schweden. Mawson hält auch 51% der Southern Cross Gold Ltd. (ASX: SXG), das drei hochgradige, historische epizonale Goldfelder mit einer Länge von 470 km² in Victoria, Australien, besitzt oder kontrolliert, einschließlich der spannenden Sunday Creek Au-Sb Entdeckung.

Über Southern Cross Gold Ltd (ASX: SXG)

[Southern Cross Gold](#) besitzt das zu 100 % im Besitz befindliche Sunday Creek Projekt in Victoria und das Mt Isa Projekt in Queensland, die Redcastle und Whroo Joint Ventures in Victoria, Australien, sowie eine strategische 10 %ige Beteiligung an der an der ASX notierten Nagambie Resources Limited (ASX: NAG), die SXG ein Vorkaufsrecht auf ein 3.300 Quadratkilometer großes Grundstückspaket im Besitz von NAG in Victoria gewährt.

Im Namen des Verwaltungsrats,

"Michael Hudson"

Michael Hudson, Interims-CEO und geschäftsführender Vorsitzender

Weitere Informationen

www.mawsongold.com

1305 - 1090 West Georgia St., Vancouver, BC, V6E 3V7
Mariana Bermudez (Kanada), Unternehmenssekretärin
+1 (604) 685 9316 info@mawsongold.com

In Europa:

Swiss Resource Capital AG
Jochen Staiger & Marc Ollinger
info@resource-capital.ch
www.resource-capital.ch

Zukunftsgerichtete Aussage

Diese Pressemitteilung enthält zukunftsgerichtete Aussagen oder zukunftsgerichtete Informationen im Sinne der geltenden Wertpapiergesetze (zusammenfassend als "zukunftsgerichtete Aussagen" bezeichnet). Alle hierin enthaltenen Aussagen, mit Ausnahme von Aussagen über historische Fakten, sind zukunftsgerichtete Aussagen. Obwohl Mawson der Ansicht ist, dass solche

Aussagen angemessen sind, kann Mawson keine Garantie dafür geben, dass sich diese Erwartungen als richtig erweisen werden. Zukunftsgerichtete Aussagen sind in der Regel durch Wörter wie glauben, erwarten, vorhersehen, beabsichtigen, schätzen, postulieren und ähnliche Ausdrücke gekennzeichnet oder beziehen sich auf zukünftige Ereignisse. Mawson weist Investoren darauf hin, dass zukunftsgerichtete Aussagen keine Garantie für zukünftige Ergebnisse oder Leistungen sind und dass die tatsächlichen Ergebnisse aufgrund verschiedener Faktoren erheblich von jenen in zukunftsgerichteten Aussagen abweichen können, einschließlich der Erwartungen von Mawson hinsichtlich seiner Beteiligung an Southern Cross Gold, Kapital- und andere Kosten, die erheblich von den Schätzungen abweichen, Veränderungen auf den Weltmetallmärkten, Veränderungen auf den Aktienmärkten, die potenziellen Auswirkungen von Epidemien, Pandemien oder anderen Krisen im Bereich der öffentlichen Gesundheit, einschließlich COVID-19, auf das Geschäft des Unternehmens, Risiken im Zusammenhang mit negativer Publicity in Bezug auf das Unternehmen oder die Bergbauindustrie im Allgemeinen; Explorationspotenzial, das konzeptioneller Natur ist, unzureichende Exploration, um eine Mineralressource auf den australischen Projekten im Besitz von SXG zu definieren, und Ungewissheit, ob weitere Explorationen zur Bestimmung einer Mineralressource führen werden; geplante Bohrprogramme und Ergebnisse, die von den Erwartungen abweichen, Verzögerungen beim Erhalt von Ergebnissen, Ausrüstungsausfälle, unerwartete geologische Bedingungen, die Beziehungen zu den lokalen Gemeinden, der Umgang mit Nichtregierungsorganisationen, Verzögerungen bei der Erteilung von Genehmigungen, Umwelt- und Sicherheitsrisiken sowie andere Risiken und Ungewissheiten, die unter der Überschrift "Risikofaktoren" in Mawsons jüngstem Jahresbericht auf [SEDAR](#) veröffentlicht wurden. Jede zukunftsgerichtete Aussage bezieht sich nur auf das Datum, an dem sie getätigt wird, und Mawson lehnt jede Absicht oder Verpflichtung ab, zukunftsgerichtete Aussagen zu aktualisieren, sei es aufgrund neuer Informationen, zukünftiger Ereignisse oder Ergebnisse oder aus anderen Gründen.

Abbildung 1: Grundriss von Sunday Creek mit dem hier gemeldeten Bohrloch SDDSC108A9 (grauer Kasten, blau hervorgehoben), ausgewählten früher gemeldeten Bohrlöchern und noch nicht abgeschlossenen Bohrungen. Für den Standort siehe Abbildung 5.

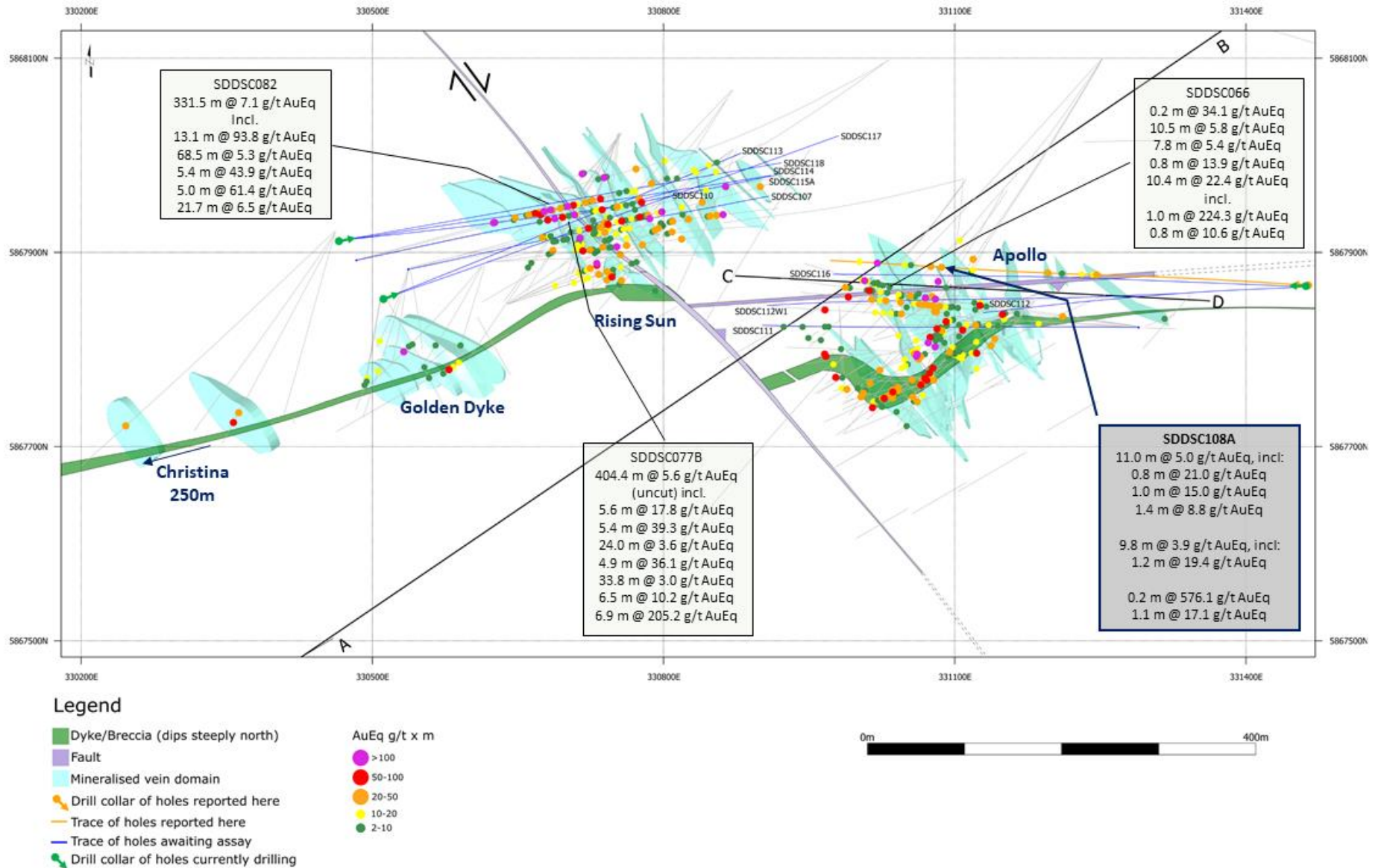


Abbildung 2: Sunday Creek-Längsschnitt durch A-B in der Ebene der Dyke-Brekzie/alterierten Sedimente (siehe Abbildung 1) mit Blick in Richtung Norden (Streichung 236 Grad), der mineralisierte Adersätze zeigt. Zeigt SDDSC108A, über das hier berichtet wird, und frühere gemeldete Bohrlöcher. Der Standort von Abbildung 3 (Abschnitt C-D) ist mit einem rot gestrichelten Kasten markiert.

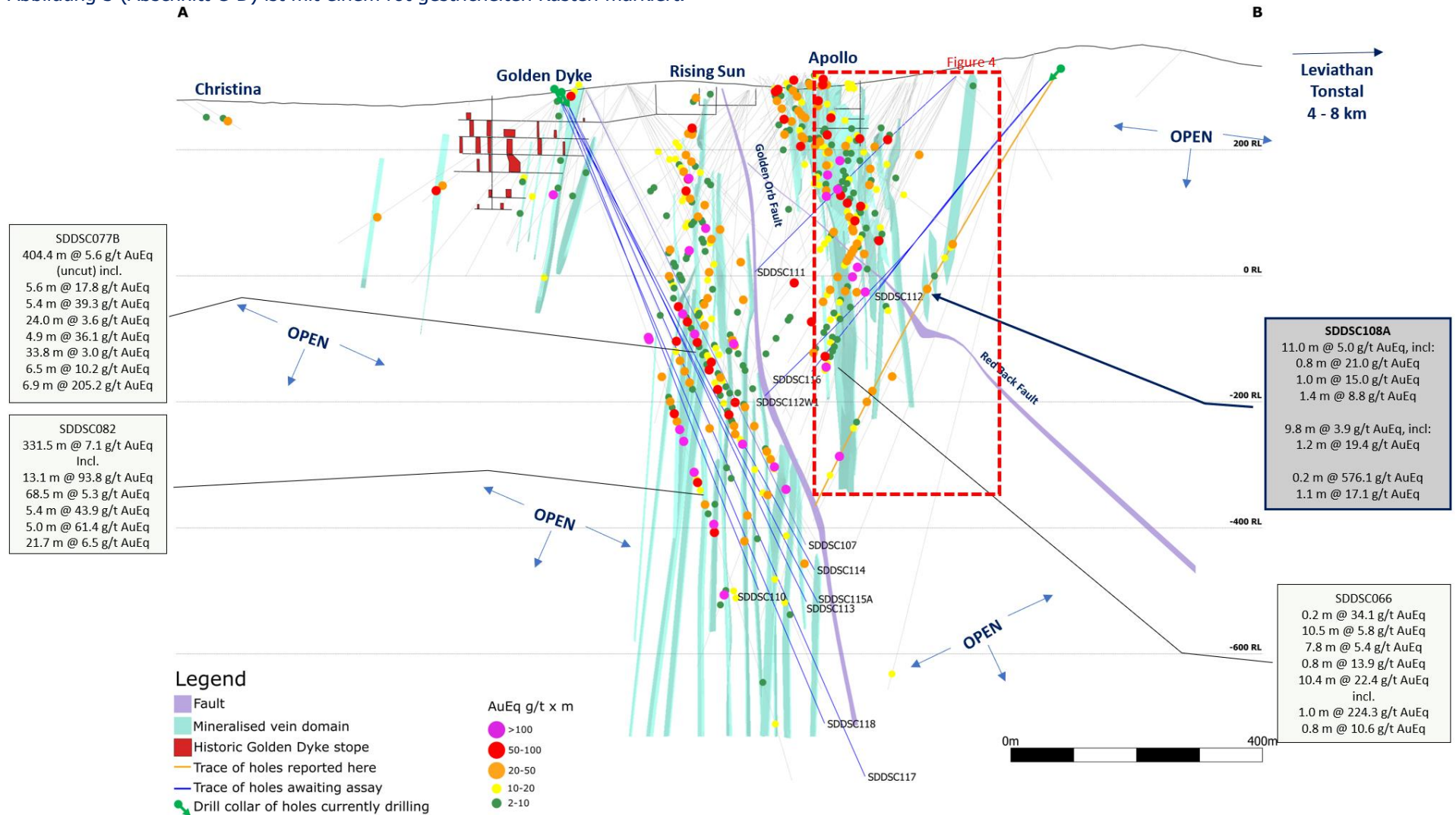


Abbildung 3: Sunday Creek Querschnitt durch C-D in der Ebene des Bohrlochs SDDSC108A, Blick in Richtung Norden (Streichung 092 Grad). Zeigt SDDSC108A (orangefarbene Spur), über die hier berichtet wird, und die zuvor gemeldeten Bohrlöcher. Der Einfluss des Abschnitts beträgt 50 Meter.

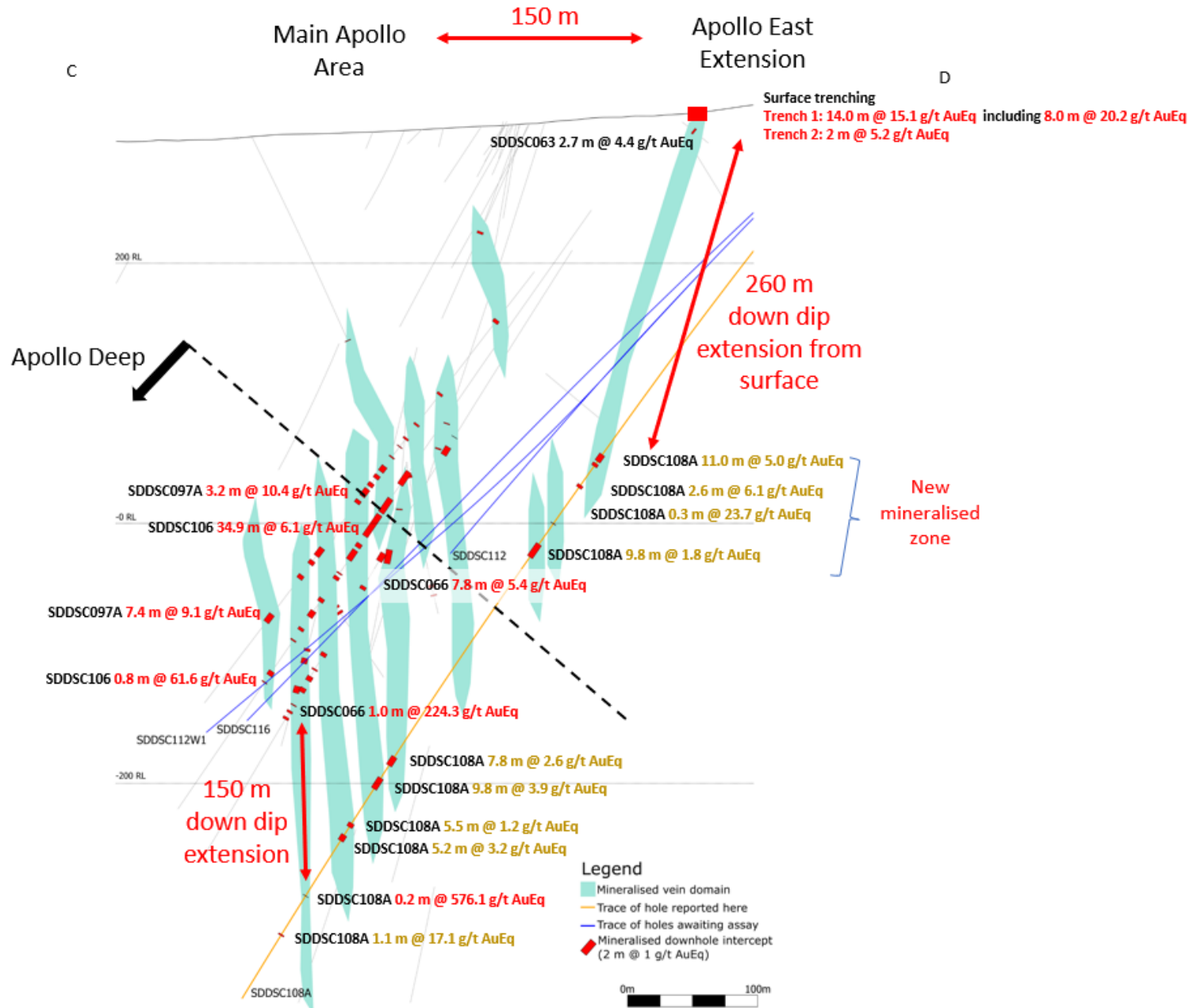


Abbildung 4: Regionale Draufsicht auf Sunday Creek mit LiDAR, Bodenproben, strukturellem Rahmen, regionalen historischen epizonalen Goldabbaugebieten und breiten regionalen Gebieten (Tonstal, Consols und Leviathan), die durch 12 Bohrungen im Rahmen des 2.383 m langen Bohrprogramms erprobt wurden. Die regionalen Bohrgebiete befinden sich bei Tonstal, Consols und Leviathan, die 4.000-7.500 m entlang des Streichens vom Hauptbohrgebiet bei Golden Dyke-Apollo entfernt liegen.

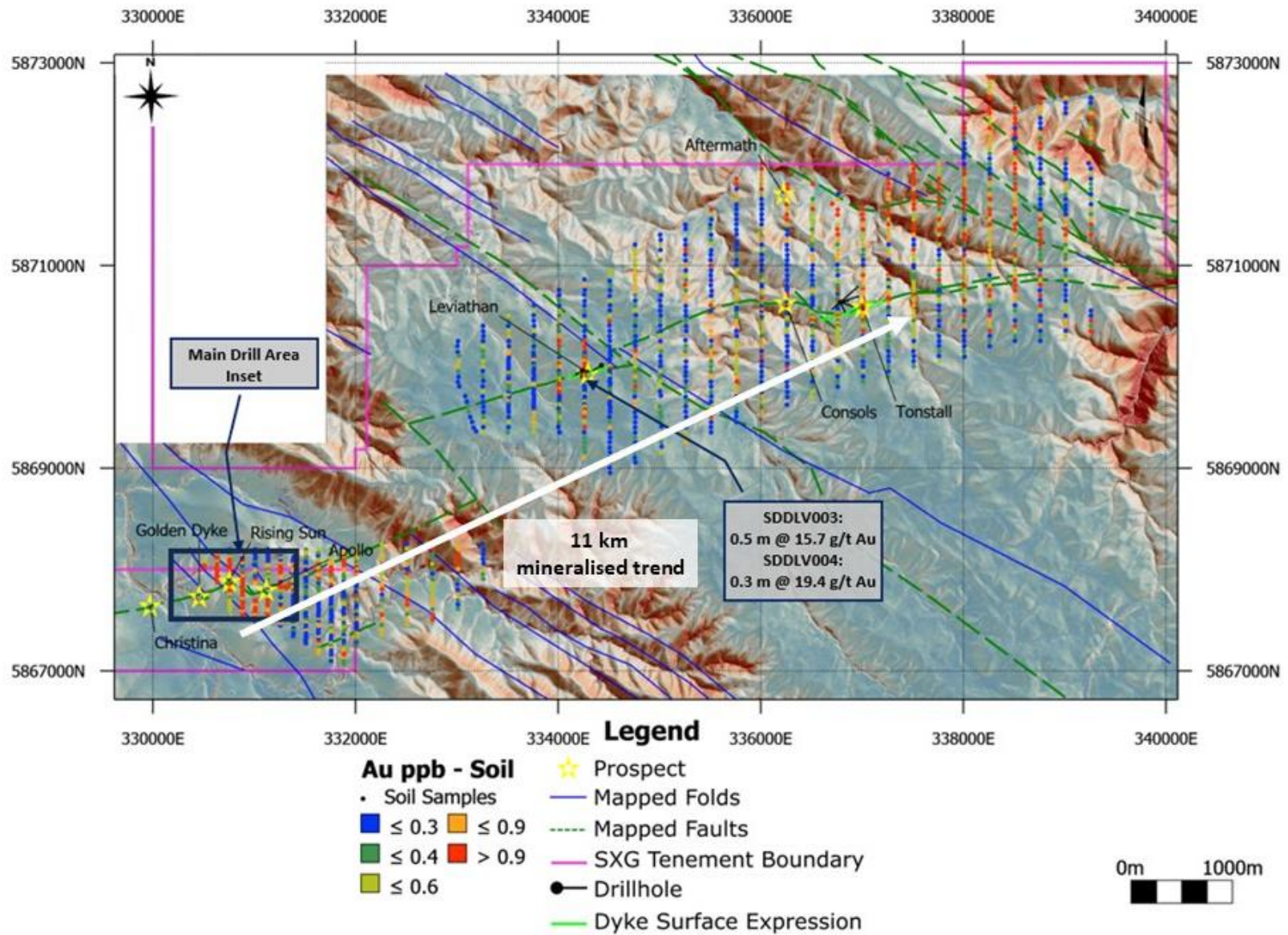


Abbildung 5: Standort des Projekts Sunday Creek, zusammen mit den anderen Projekten von SXG in Victoria und einer vereinfachten Geologie.



- Epizonal Gold Deposits
- SXG Projects
- SXG Nagambie Right of First Refusal
- Agnico Eagle Mines ML (Fosterville)
- Mandalay Resources (Costerfield)
- Igneous Rocks

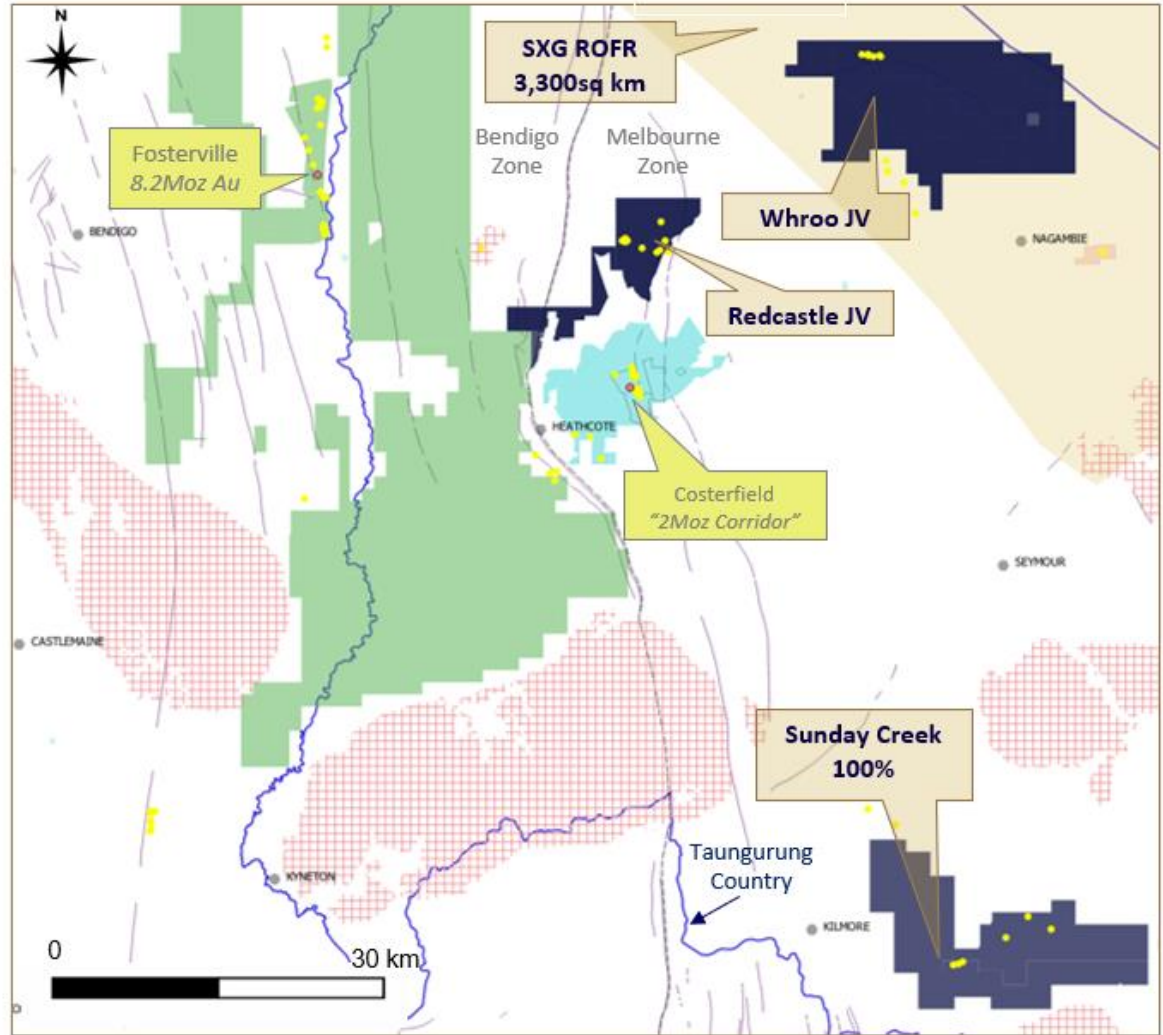


Tabelle 1: Zusammenfassende Tabelle der Bohrkragen für die jüngsten Bohrlöcher in Arbeit.

Bohrung_ID	Tiefe (m)	Aussicht	Osten GDA94_Z55	Norden GDA94_Z55	Erhebungen	Azimut	Eintauchen
SDDSC092	803.8	Aufgehende Sonne	330537	5867882	295.5	79.0	-60
SDDSC093	610.9	Aufgehende Sonne	331291	5867823	316.8	271	-47.5
SDDSC094	23.3	Aufgehende Sonne	330639	5867846	306.2	68.5	-56
SDDSC094A	359.6	Aufgehende Sonne	330639	5867846	306.1	68.5	-56
SDDSC095	368.3	Apollo	331291	5867823	316.8	271	-53
SDDSC096	347.9	Aufgehende Sonne	330639	5867846	306.1	68	-63.5
SDDSC097	62.3	Apollo	331291	5867823	316.8	276	-50.5
SDDSC097A	575	Apollo	331291	5867823	316.8	277	-50
SDDSC098	278.5	Aufgehende Sonne	330639	5867846	306.1	72	-48.5
SDDSC099	284.7	Aufgehende Sonne	330639	5867846	306.1	71.5	-58.5
SDDSC100	1042	Aufgehende Sonne	330482	5867891	289.5	74.5	-64
SDDSC101	181.5	Aufgehende Sonne	330639	5867846	306.1	63	-37
SDDSC102	596.8	Aufgehende Sonne	330537	5867883	295.5	75	-59
SDDSC103	260.6	Aufgehende Sonne	330639	5867847	306.1	53	-53
SDDSC104	595.2	Aufgehende Sonne	330639	5867847	306.1	64.5	-65.7
SDDSC105	353.6	Apollo	331291	5867823	316.8	275.3	-55.2
SDDSC106	653.5	Apollo	331291	5867823	316.8	279.5	-53
SDDSC107	815.9	Aufgehende Sonne	330537	5867883	295.5	77.5	-62
SDDSC108A	855.9	Apollo	331464	5867865	333	272.5	-50
SDDSC109	520.9	Apollo	331291	5867823	316.8	273.5	-44.5
SDDSC110	856.7	Aufgehende Sonne	330482	5867892	289.5	78	-66
SDDSC111	496.7	Apollo	331291	5867823	316.8	270	-38
SDDSC112	490.9	Apollo	331464	5867865	333	267	-42
SDDSC112W1	766.4	Apollo	331329	5867859	200	267	-42
SDDSC113	905.5	Aufgehende Sonne	330511	5867853	296.6	67.5	-63.5
SDDSC114	878.6	Aufgehende Sonne	330464	5867914	286.6	82	-58
SDDSC115	17.6	Aufgehende Sonne	330464	5867912	286.6	83	-58.5
SDDSC115A	926.6	Aufgehende Sonne	330464	5867912	286.7	83	-59
SDDSC116	In Arbeit befindlicher Plan 810 m	Aufgehende Sonne	331465	5867865	333.3	272.5	-41.5
SDDSC117	In Arbeit befindlicher Plan 1200 m	Aufgehende Sonne	330510	5867852	296.5	70.5	-64.5
SDDSC118	In Arbeit befindlicher Plan 1100 m	Aufgehende Sonne	330464	5867912	286.6	80	-64.5

Tabelle 2: Tabellen der mineralisierten Bohrlochabschnitte, die von SDDSC108A unter Anwendung von zwei Cutoff-Kriterien gemeldet wurden. Niedrigere Gehalte werden mit einem Cutoff-Gehalt von 1,0 g/t über maximal 2 m und höhere Gehalte mit einem Cutoff-Gehalt von 5,0 g/t AuEq über maximal 1 m geschnitten.

Loch-ID	Von (m)	Nach (m)	Länge (m)	Au g/t	Sb%	AuEq g/t
SDDSC108A	354.05	365.00	11.0	1.9	2.0	5.0
einschließlich	354.35	354.70	0.3	0.8	3.6	6.4
einschließlich	357.62	358.40	0.8	12.0	5.7	21.0
einschließlich	359.45	360.45	1.0	1.0	8.9	15.0
einschließlich	363.00	364.40	1.4	3.3	3.5	8.8
SDDSC108A	382.80	385.25	2.4	5.6	0.3	6.1
einschließlich	383.15	383.50	0.4	12.6	0.2	13.0
einschließlich	384.60	385.25	0.6	10.2	0.3	10.7
SDDSC108A	419.00	419.30	0.3	19.6	2.6	23.7
SDDSC108A	438.40	438.65	0.3	48.8	0.0	48.8
SDDSC108A	440.70	450.50	9.8	1.6	0.1	1.8
einschließlich	441.30	441.60	0.3	5.0	0.0	5.0
SDDSC108A	636.18	643.97	7.8	1.0	1.0	2.6
einschließlich	636.93	638.00	1.1	1.7	2.6	5.9
einschließlich	641.50	641.70	0.2	2.3	2.1	5.6
SDDSC108A	655.58	665.35	9.8	1.8	1.3	3.9
einschließlich	657.78	658.98	1.2	8.6	6.8	19.4
einschließlich	664.55	665.05	0.5	3.2	2.1	6.5
SDDSC108A	674.10	674.40	0.3	1.0	1.1	2.8
SDDSC108A	680.35	680.59	0.2	0.5	1.3	2.5
SDDSC108A	694.88	700.35	5.5	0.7	0.3	1.2
SDDSC108A	707.56	712.78	5.2	2.3	0.6	3.2
einschließlich	707.78	707.98	0.2	33.9	6.9	44.8
SDDSC108A	762.91	763.15	0.2	576.0	0.1	576.1
SDDSC108A	787.92	789.15	1.2	0.9	0.1	1.1
SDDSC108A	797.90	798.98	1.1	16.9	0.1	17.1
SDDSC108A	801.82	803.70	1.9	0.8	0.2	1.2
SDDSC108A	821.20	822.39	1.2	0.9	0.5	1.7
SDDSC108A	832.94	833.32	0.4	3.2	0.0	3.2

Tabelle 3: Alle hier gemeldeten Einzelergebnisse von SDDSC108A >0,1g/t AuEq.

Loch-ID	Von (m)	Nach (m)	Länge (m)	Au g/t	Sb%	AuEq g/t
SDDSC108A	235.00	235.70	0.7	0.2	0.0	0.2
SDDSC108A	235.70	236.65	1.0	0.1	0.0	0.1
SDDSC108A	238.83	239.76	0.9	0.1	0.0	0.1
SDDSC108A	346.15	347.20	1.1	0.2	0.0	0.2
SDDSC108A	349.25	350.10	0.9	0.2	0.0	0.2
SDDSC108A	350.10	350.70	0.6	0.3	0.0	0.3
SDDSC108A	350.70	351.05	0.4	0.4	0.2	0.7
SDDSC108A	351.05	351.80	0.8	0.5	0.0	0.5
SDDSC108A	351.80	352.55	0.8	0.3	0.0	0.3
SDDSC108A	352.55	353.05	0.5	0.2	0.0	0.2
SDDSC108A	353.05	354.05	1.0	0.1	0.0	0.1
SDDSC108A	354.05	354.35	0.3	0.7	2.7	5.0
SDDSC108A	354.35	354.70	0.4	0.8	3.6	6.4
SDDSC108A	354.70	355.95	1.3	1.5	0.0	1.5
SDDSC108A	355.95	357.30	1.4	0.3	0.0	0.4
SDDSC108A	357.30	357.62	0.3	0.9	0.0	0.9
SDDSC108A	357.62	357.95	0.3	2.4	2.6	6.6
SDDSC108A	357.95	358.40	0.5	19.0	8.0	31.6
SDDSC108A	358.40	358.77	0.4	0.3	0.2	0.6
SDDSC108A	358.77	359.45	0.7	0.6	0.6	1.6
SDDSC108A	359.45	360.05	0.6	1.3	6.9	12.1
SDDSC108A	360.05	360.45	0.4	0.5	11.9	19.3
SDDSC108A	361.95	362.40	0.5	0.2	0.0	0.2
SDDSC108A	362.40	363.00	0.6	1.8	0.3	2.3
SDDSC108A	363.00	363.30	0.3	2.7	1.5	5.1
SDDSC108A	363.70	364.00	0.3	1.9	0.4	2.6
SDDSC108A	364.00	364.40	0.4	8.1	10.7	25.0
SDDSC108A	364.40	364.70	0.3	2.7	1.4	4.9
SDDSC108A	364.70	365.00	0.3	1.1	0.6	2.1
SDDSC108A	366.00	367.00	1.0	0.1	0.0	0.1
SDDSC108A	367.00	368.00	1.0	0.2	0.0	0.2

SDDSC108A	369.00	369.50	0.5	0.1	0.0	0.1
SDDSC108A	369.50	370.70	1.2	0.5	0.0	0.6
SDDSC108A	370.70	371.90	1.2	0.2	0.0	0.2
SDDSC108A	371.90	372.90	1.0	0.1	0.0	0.1
SDDSC108A	372.90	373.60	0.7	0.2	0.0	0.2
SDDSC108A	377.40	378.00	0.6	0.1	0.0	0.1
SDDSC108A	378.00	378.80	0.8	0.2	0.0	0.2
SDDSC108A	381.00	381.80	0.8	0.2	0.0	0.3
SDDSC108A	382.80	383.15	0.4	1.2	0.4	1.8
SDDSC108A	383.15	383.50	0.4	12.6	0.2	13.0
SDDSC108A	383.50	384.00	0.5	2.1	0.6	3.1
SDDSC108A	384.00	384.30	0.3	2.4	0.4	2.9
SDDSC108A	384.30	384.60	0.3	1.4	0.0	1.4
SDDSC108A	384.60	384.75	0.2	7.3	1.3	9.3
SDDSC108A	384.75	385.25	0.5	11.1	0.0	11.1
SDDSC108A	385.25	385.75	0.5	0.6	0.0	0.6
SDDSC108A	385.75	386.60	0.9	0.2	0.0	0.2
SDDSC108A	386.60	387.00	0.4	0.8	0.0	0.8
SDDSC108A	387.00	387.55	0.6	0.9	0.0	0.9
SDDSC108A	398.35	399.30	1.0	0.3	0.0	0.3
SDDSC108A	399.30	399.80	0.5	0.3	0.0	0.4
SDDSC108A	399.80	400.55	0.8	0.6	0.0	0.6
SDDSC108A	400.55	401.45	0.9	0.4	0.0	0.4
SDDSC108A	401.45	401.95	0.5	0.6	0.0	0.6
SDDSC108A	401.95	402.65	0.7	0.3	0.0	0.3
SDDSC108A	402.65	403.05	0.4	0.1	0.0	0.1
SDDSC108A	418.00	419.00	1.0	0.3	0.0	0.4
SDDSC108A	419.00	419.30	0.3	19.6	2.6	23.7
SDDSC108A	419.30	420.50	1.2	0.6	0.0	0.6
SDDSC108A	420.50	421.70	1.2	0.2	0.0	0.2
SDDSC108A	422.80	424.00	1.2	0.5	0.0	0.5
SDDSC108A	424.00	425.00	1.0	0.3	0.0	0.3
SDDSC108A	426.00	427.00	1.0	0.1	0.0	0.1
SDDSC108A	427.00	428.00	1.0	0.3	0.0	0.3
SDDSC108A	428.00	429.00	1.0	0.2	0.0	0.2
SDDSC108A	429.00	430.00	1.0	0.4	0.0	0.4
SDDSC108A	435.00	436.00	1.0	0.5	0.0	0.6
SDDSC108A	437.00	438.00	1.0	0.2	0.0	0.2
SDDSC108A	438.00	438.40	0.4	0.2	0.0	0.2
SDDSC108A	438.40	438.65	0.3	48.8	0.0	48.8
SDDSC108A	438.65	439.00	0.4	0.6	0.0	0.6
SDDSC108A	439.00	439.90	0.9	0.5	0.0	0.5
SDDSC108A	439.90	440.70	0.8	0.9	0.0	0.9

SDDSC108A	440.70	441.30	0.6	1.4	0.3	1.8
SDDSC108A	441.30	441.60	0.3	5.0	0.0	5.0
SDDSC108A	441.60	442.60	1.0	0.4	0.0	0.4
SDDSC108A	442.60	443.10	0.5	0.8	0.0	0.8
SDDSC108A	443.10	443.50	0.4	2.7	1.4	4.9
SDDSC108A	443.50	444.30	0.8	1.9	0.0	1.9
SDDSC108A	444.30	445.35	1.1	1.4	0.0	1.4
SDDSC108A	445.35	446.30	1.0	2.7	0.0	2.7
SDDSC108A	446.30	447.00	0.7	1.2	0.0	1.2
SDDSC108A	447.00	448.00	1.0	1.7	0.2	2.0
SDDSC108A	448.00	449.00	1.0	1.1	0.0	1.1
SDDSC108A	449.00	450.00	1.0	0.4	0.0	0.4
SDDSC108A	450.00	450.50	0.5	3.9	0.0	3.9
SDDSC108A	450.50	451.60	1.1	0.1	0.0	0.1
SDDSC108A	451.60	452.60	1.0	0.3	0.0	0.3
SDDSC108A	452.60	453.70	1.1	0.5	0.0	0.5
SDDSC108A	466.33	466.60	0.3	0.4	0.0	0.4
SDDSC108A	468.30	468.59	0.3	0.3	0.0	0.4
SDDSC108A	468.59	469.00	0.4	0.1	0.0	0.1
SDDSC108A	469.00	469.41	0.4	0.6	0.0	0.6
SDDSC108A	469.41	469.74	0.3	0.1	0.0	0.1
SDDSC108A	469.74	470.32	0.6	0.8	0.0	0.8
SDDSC108A	470.32	470.89	0.6	0.5	0.0	0.5
SDDSC108A	470.89	471.68	0.8	0.4	0.0	0.4
SDDSC108A	488.90	489.76	0.9	0.1	0.0	0.1
SDDSC108A	490.31	490.58	0.3	0.9	0.0	0.9
SDDSC108A	490.97	491.39	0.4	0.1	0.0	0.1
SDDSC108A	491.39	491.80	0.4	0.4	0.0	0.4
SDDSC108A	497.20	497.92	0.7	0.7	0.0	0.7
SDDSC108A	497.92	498.28	0.4	0.2	0.0	0.2
SDDSC108A	500.38	500.79	0.4	0.2	0.0	0.2
SDDSC108A	509.87	510.37	0.5	0.1	0.0	0.1
SDDSC108A	632.63	633.19	0.6	0.4	0.1	0.5
SDDSC108A	633.97	634.88	0.9	0.2	0.0	0.2
SDDSC108A	634.88	635.50	0.6	0.1	0.0	0.1
SDDSC108A	635.50	635.72	0.2	0.6	0.1	0.7
SDDSC108A	635.72	636.18	0.5	0.1	0.0	0.1
SDDSC108A	636.18	636.53	0.4	1.3	1.9	4.3
SDDSC108A	636.53	636.93	0.4	1.5	1.4	3.7
SDDSC108A	636.93	637.16	0.2	1.8	3.5	7.4
SDDSC108A	637.16	637.41	0.3	1.0	0.4	1.7
SDDSC108A	637.41	638.00	0.6	2.0	3.2	7.0
SDDSC108A	638.00	638.38	0.4	2.1	0.7	3.3

SDDSC108A	638.38	638.96	0.6	0.6	0.5	1.4
SDDSC108A	638.96	639.80	0.8	0.5	0.2	0.8
SDDSC108A	639.80	640.40	0.6	0.1	0.0	0.1
SDDSC108A	640.40	640.69	0.3	1.9	1.5	4.3
SDDSC108A	640.69	641.50	0.8	0.6	1.3	2.6
SDDSC108A	641.50	641.70	0.2	2.3	2.1	5.6
SDDSC108A	641.70	642.37	0.7	1.0	1.2	2.9
SDDSC108A	642.37	643.44	1.1	0.6	0.1	0.7
SDDSC108A	643.44	643.97	0.5	1.3	0.3	1.8
SDDSC108A	643.97	644.95	1.0	0.7	0.1	0.9
SDDSC108A	644.95	645.25	0.3	0.5	0.2	0.8
SDDSC108A	645.25	646.00	0.8	0.1	0.0	0.1
SDDSC108A	652.00	653.00	1.0	0.1	0.0	0.1
SDDSC108A	653.00	653.79	0.8	0.2	0.0	0.2
SDDSC108A	654.45	654.82	0.4	0.0	0.0	0.1
SDDSC108A	654.82	655.34	0.5	0.2	0.0	0.2
SDDSC108A	655.34	655.58	0.2	0.3	0.1	0.5
SDDSC108A	655.58	656.22	0.6	0.2	0.7	1.2
SDDSC108A	656.22	656.77	0.6	0.2	0.5	0.9
SDDSC108A	656.77	657.14	0.4	0.2	0.5	1.0
SDDSC108A	657.14	657.78	0.6	0.4	0.5	1.1
SDDSC108A	657.78	658.00	0.2	24.1	2.8	28.5
SDDSC108A	658.00	658.45	0.5	7.7	15.1	31.5
SDDSC108A	658.45	658.98	0.5	3.0	1.5	5.3
SDDSC108A	658.98	659.48	0.5	0.8	0.4	1.5
SDDSC108A	659.48	659.80	0.3	0.5	0.3	0.9
SDDSC108A	659.80	660.22	0.4	0.8	0.3	1.3
SDDSC108A	660.22	660.85	0.6	2.5	0.6	3.4
SDDSC108A	660.85	661.69	0.8	0.2	0.2	0.5
SDDSC108A	662.17	662.55	0.4	0.7	0.3	1.2
SDDSC108A	662.55	662.83	0.3	0.8	0.8	2.0
SDDSC108A	662.83	663.17	0.3	0.4	0.6	1.4
SDDSC108A	663.17	663.65	0.5	0.4	0.3	0.8
SDDSC108A	663.65	664.00	0.4	2.0	0.9	3.4
SDDSC108A	664.00	664.55	0.6	1.0	0.7	2.0
SDDSC108A	664.55	665.05	0.5	3.2	2.1	6.5
SDDSC108A	665.05	665.35	0.3	1.2	0.6	2.2
SDDSC108A	665.35	665.92	0.6	0.2	0.1	0.4
SDDSC108A	666.89	667.70	0.8	0.2	0.1	0.4
SDDSC108A	667.70	668.24	0.5	0.3	0.1	0.4
SDDSC108A	668.24	668.92	0.7	0.0	0.0	0.1
SDDSC108A	669.68	670.25	0.6	0.1	0.0	0.1
SDDSC108A	673.00	674.10	1.1	0.0	0.0	0.1

SDDSC108A	674.10	674.40	0.3	1.0	1.1	2.8
SDDSC108A	674.40	675.00	0.6	0.2	0.1	0.3
SDDSC108A	675.00	675.55	0.6	0.0	0.0	0.1
SDDSC108A	679.00	680.00	1.0	0.0	0.0	0.1
SDDSC108A	680.00	680.35	0.4	0.1	0.0	0.1
SDDSC108A	680.35	680.59	0.2	0.5	1.3	2.5
SDDSC108A	681.50	682.22	0.7	0.3	0.0	0.3
SDDSC108A	694.88	695.55	0.7	1.4	0.0	1.4
SDDSC108A	695.89	696.86	1.0	0.4	0.4	1.0
SDDSC108A	696.86	697.05	0.2	1.9	0.9	3.3
SDDSC108A	698.00	698.65	0.7	0.7	0.1	0.9
SDDSC108A	698.65	699.25	0.6	0.8	0.3	1.3
SDDSC108A	699.25	699.88	0.6	1.0	1.3	3.0
SDDSC108A	699.88	700.35	0.5	1.3	0.3	1.8
SDDSC108A	706.00	707.00	1.0	0.3	0.0	0.3
SDDSC108A	707.56	707.78	0.2	0.5	1.3	2.6
SDDSC108A	707.78	707.98	0.2	33.9	6.9	44.8
SDDSC108A	707.98	708.64	0.7	0.1	0.3	0.6
SDDSC108A	708.64	708.85	0.2	3.5	0.2	3.7
SDDSC108A	708.85	709.40	0.6	0.4	0.0	0.5
SDDSC108A	709.40	709.75	0.4	4.4	0.3	4.9
SDDSC108A	710.30	710.67	0.4	0.3	0.4	0.9
SDDSC108A	710.67	711.11	0.4	0.2	0.1	0.3
SDDSC108A	711.11	711.49	0.4	0.6	0.5	1.4
SDDSC108A	711.49	711.87	0.4	1.0	0.0	1.1
SDDSC108A	711.87	712.37	0.5	1.4	0.8	2.5
SDDSC108A	712.37	712.78	0.4	2.0	1.0	3.5
SDDSC108A	712.78	713.40	0.6	0.1	0.0	0.1
SDDSC108A	713.40	714.00	0.6	0.1	0.0	0.1
SDDSC108A	729.72	730.00	0.3	0.1	0.0	0.1
SDDSC108A	758.23	758.45	0.2	0.1	0.0	0.1
SDDSC108A	762.91	763.15	0.2	576.0	0.1	576.1
SDDSC108A	763.15	764.00	0.9	0.1	0.0	0.1
SDDSC108A	766.26	766.45	0.2	0.3	0.1	0.4
SDDSC108A	766.45	766.71	0.3	0.2	0.0	0.2
SDDSC108A	769.46	769.69	0.2	0.3	0.0	0.3
SDDSC108A	787.14	787.31	0.2	0.1	0.0	0.1
SDDSC108A	787.92	788.65	0.7	0.8	0.1	1.1
SDDSC108A	788.65	789.15	0.5	1.1	0.0	1.1
SDDSC108A	790.00	790.26	0.3	0.8	0.1	0.9
SDDSC108A	797.90	798.16	0.3	64.8	0.3	65.3
SDDSC108A	798.80	798.98	0.2	8.0	0.1	8.1
SDDSC108A	800.92	801.24	0.3	0.2	0.0	0.2

SDDSC108A	801.24	801.44	0.2	0.3	0.0	0.3
SDDSC108A	801.44	801.82	0.4	0.3	0.3	0.8
SDDSC108A	801.82	802.36	0.5	2.2	0.4	2.8
SDDSC108A	802.36	802.70	0.3	0.3	0.0	0.3
SDDSC108A	802.70	803.35	0.7	0.3	0.0	0.4
SDDSC108A	803.35	803.70	0.4	0.2	0.6	1.2
SDDSC108A	804.00	804.37	0.4	0.2	0.0	0.2
SDDSC108A	804.37	804.57	0.2	0.2	0.1	0.3
SDDSC108A	804.57	805.00	0.4	0.2	0.0	0.2
SDDSC108A	805.19	806.10	0.9	0.1	0.0	0.1
SDDSC108A	806.10	807.22	1.1	0.5	0.2	0.9
SDDSC108A	809.21	809.43	0.2	0.2	0.0	0.2
SDDSC108A	809.43	809.81	0.4	0.2	0.0	0.2
SDDSC108A	811.11	811.36	0.3	0.1	0.0	0.1
SDDSC108A	817.30	817.40	0.1	0.6	0.0	0.6
SDDSC108A	820.21	820.43	0.2	0.6	0.0	0.6
SDDSC108A	821.20	821.64	0.4	1.0	0.5	1.8
SDDSC108A	821.64	822.39	0.8	0.8	0.5	1.6
SDDSC108A	822.39	822.77	0.4	0.1	0.0	0.1
SDDSC108A	822.77	823.86	1.1	0.3	0.0	0.3
SDDSC108A	826.79	827.26	0.5	0.1	0.0	0.1
SDDSC108A	832.94	833.32	0.4	3.2	0.0	3.2
SDDSC108A	833.32	834.00	0.7	0.8	0.0	0.8
SDDSC108A	834.00	835.00	1.0	0.1	0.0	0.1
SDDSC108A	839.81	840.17	0.4	0.1	0.0	0.1
SDDSC108A	840.17	841.00	0.8	0.1	0.0	0.1
SDDSC108A	846.00	847.00	1.0	0.6	0.0	0.6
SDDSC108A	847.00	847.96	1.0	0.7	0.0	0.7
SDDSC108A	847.96	848.84	0.9	0.2	0.0	0.2